

논문 96-5-2-04

## 후막형 $TiO_2/WO_3$ 소자의 탄화수소계가스에 대한 감도 특성

장동혁, 최동한\*

### Gas sensing characteristics of $TiO_2/WO_3$ thick film for hydrocarbon gas

Donghyuck Chang and Donghan Choi

#### 요 약

부탄가스 감지를 위해  $WO_3$ 를 기본물질로 하고 산화물을 첨가제로 한 후막형 가스감지 소자를 스크린 프린팅 법으로 제조하였고 가스에 대한 감도특성 등을 조사하였다. 첨가 산화물중  $TiO_2$ 를 첨가한  $WO_3$  후막의 부탄가스에 대한 감도가 다른 첨가물을 적용한 후막의 감도보다 상대적으로 높음을 알 수 있었고,  $TiO_2$ 의 첨가량이 2wt.%일 때 가장 높은 감도를 나타낼을 알 수 있었다. 열처리 온도를 900°C까지 변화시켜 보았는데 650°C일 때 가장좋은 감도를 나타냈으며, 동작온도를 400°C까지 변화시켰을 때 350°C에서 가장 좋은 감도를 가짐을 알 수 있었다.  $WO_3$ 에  $TiO_2$ 를 2wt.% 첨가하고, 650°C에서 열처리한 후막의 동작온도 350°C에서 공기중 20000ppm의 부탄가스에 대해 80%의 감도를 나타내었다.

#### Abstract

Thick film  $TiO_2/WO_3$  butane gas sensors were fabricated by the screen printing method and their gas sensing characteristics were investigated. The sensitivity of  $TiO_2/WO_3$  thick film was higher than that of pure  $WO_3$  film to butane. The  $WO_3$  film with 2wt.%  $TiO_2$  showed the highest sensitivity to butane. And the optimum heat treatment temperature was 650°C. That film showed the highest sensitivity to butane at the operating temperature of 350°C. The sensitivity of the film to 20000ppm butane in air was 80% at the operating temperature of 350°C.

#### I. 서론

대기오염 문제가 대두되는 요즘 편리성과 대기오염 문제해결을 위한 청정한 연료의 요구로 가스연료의 선

호도는 더욱 높아지고 있다. 그러나 각종가스의 수요가 급증함에 따라 이에 수반한 가스의 누설로 대기오염 및 폭발사고 등으로 인한 재해가 심각한 사회문제로 대두되고 있다. 이같은 대기오염의 방지 및 가스누출사고로 인한 폭발사고를 예방하기 위해서는 가스감지소자의 개발이 필요하다 하겠다.

가스의 종류나 양을 측정할 수 있는 반도체 가스센서에 대한 연구는 1962년 Seiyama<sup>[1]</sup> 등과 Taguchi<sup>[2]</sup> 등에 의해 처음으로 이루어졌다. 산화물 반도체 표면에서 가스의 흡탈착 효과를 이용하여 가스 감지소자를 개발한 이후 지금까지 가스감지물질로 가장 많이 연구

청주대학교 전자공학과

(Chongju University, Dept. of Electronic Engineering)

\* 청주대학교 반도체공학과

(Chongju University, Dept. of Semiconductor Engineering)

<접수일자 : 1996년 1월 31일>

되고 있는 것은  $\text{SnO}_2^{[3]}$ 와  $\text{ZnO}^{[1-3]}$ 이고  $\text{Ag}_2\text{O}$ ,  $\text{Fe}_2\text{O}_3$ ,  $\text{WO}_3$ ,  $\text{Ga}_2\text{O}_3$ ,  $\text{In}_2\text{O}_3$ 등도 보고되고 있다<sup>[4-6]</sup>.

그동안 개발된 가스 감지소자의 형태는 세라믹형, 후막형, 박막형, FET형 및 커패시터형 등이 있다<sup>[8-11]</sup>. 이중 후막형 소자는 특성이 안정하며 가스에 대한 감도가 높고 혼성집적회로(hybrid IC)에 적용할 수 있어 장차 실용화가 기대되는 소자형태이다<sup>[12]</sup>.

$\text{WO}_3$  가스센서에 대한 연구는 Shaver<sup>[13]</sup>가 저농도의  $\text{H}_2$  가스에 의해  $\text{WO}_3$  박막의 전기전도도가 변화함을 밝힌 것이 최초이다. 그 후 몇몇 연구자<sup>[14-16]</sup>들에 의해 연구가 간헐적으로 이어져 왔으나 최근 탄화수소계 가스 감지용으로  $\text{WO}_3^{[17]}$  및  $\text{WO}_3/\text{Pt}$  후막형 가스센서<sup>[18]</sup>를 제조한 바 있다.

지금까지 탄화수소계 가스 감지소자의 개발을 위해  $\text{SnO}_2$  및  $\text{Fe}_2\text{O}_3$ 가 母물질로 이용되어 왔으며 이들은 높은 감도와 좋은 응답특성을 가짐이 알려져 있다<sup>[3,7]</sup>. 그러나 장기안정도의 결여, 소자특성의 불균일성, 습기에 의한 감도변화, 저농도의 가스 검출의 어려움 및 선택성의 결여 등의 문제점도 있는 것으로 알려져 있다. 저농도의 가스검출은 Pt나 Pd등 귀금속 측매제를 사용하여 보완할 수 있고, 금속산화물 및 산화물 담지 금속촉매제를 첨가하여 장기 안정도를 높일수 있다. 금속산화물 중  $\text{TiO}_2$ 는  $\text{SnO}_2$ 에 대해 입자성장을 억제하며 나아가 가스감지 특성을 개선시키는 것으로 알려져 있다<sup>[3]</sup>.

본 연구에서는  $\text{WO}_3$ 에 4종류의 금속산화물을 첨가하여 후막형 가스센서를 스크린 인쇄법에 의해 제조하고 소자의 제조조건 및 동작조건에 따른 부탄가스에 대한 감지특성을 조사해 보았다.

## II. 실험

### A. 소자의 제조

그림 1은 소자의 제조과정을 나타낸 것이다. 母물질로는  $\text{WO}_3$ 를 사용하였고 첨가물로는  $\text{TiO}_2$ ,  $\text{MnO}_2$ ,  $\text{ZnO}$ ,  $\text{SnO}_2$ 를 사용하였다. 각 첨가물은 중량비가 0~5wt.%가 되도록 칭량한 후 아게이트 몰탈로 혼합하였다. 이를 600°C의 전기로 속에서 1시간 동안 공기중에서 하소하였다. 아게이트 몰탈을 사용하여 분말을 만든 후 소량의 탈이온수 (비저항: 18 M $\Omega \cdot \text{cm}$ )를 첨가하여 혼탁액 상태로 만들어 알루미나 기판위에 스크린 인쇄법으로 후막을 형성하였다. 이때 사용한 스크린은 150mesh였다. 이것을 100°C 오븐에서 24시간 동안 건

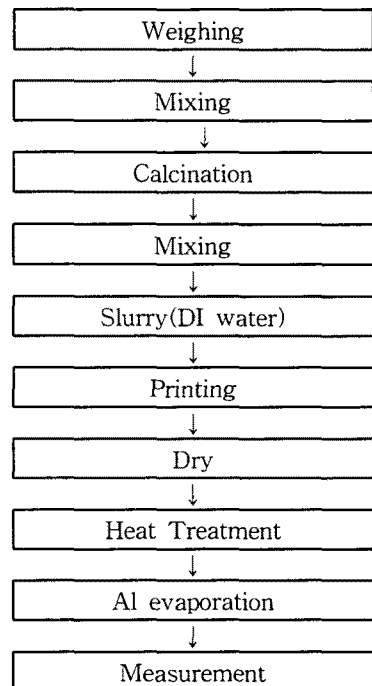


그림 1. 후막형 가스 감지소자의 제조공정도

Fig. 1. Process sequence for thick film gas sensor.

조시킨 후 공기중에서 각각 450°C, 550°C, 650°C, 750°C 및 900°C로 1시간 동안 열처리하였다. 이때 온도 상승률은 10°C/min으로 하였고 자연 냉각시켰다. 여기에 전극 간격이 1mm인 Al전극을 열전공증착법으로 형성하였다. 그림 2는 제조한 소자의 구조를 나타낸 것이다. 알루미나 기판은 두께 1mm, 가로 8mm 및 세로 7mm였으며 형성된 후막은 가로, 세로가 5×5mm였다. 또한 전극간격은 1mm였다.

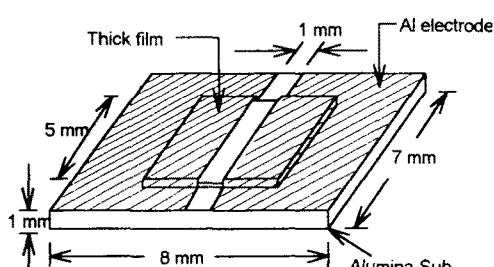


그림 2. 제조된 소자의 구조

Fig. 2. The structure of the fabricated sensor.

### B. 감지특성의 측정

그림 3은 소자의 가스감지 특성을 조사하기 위한 장치도이다. 밀폐된 스텐레스 용기내에 소형열판을 설치하고 그 위에 소자를 올려놓았다. 소자에 직렬로 부하 저항을 연결하고, 부하저항 양단의 전압강하를 디지털 멀티메타로 측정한 후, 소자의 저항값을 계산하였다. 소자의 동작온도 측정에는 크로멜-알루멜(Cromel-alumel) 열전대를 사용하였다. 소자의 동작온도는 별도로 제작된 온도조절기로 변화시켰으며 용기상단의 주입구로 퍼검가스를 흘려 넣었다. 퍼측정가스는 부탄( $\text{C}_4\text{H}_{10}$ )과 LPG를 사용하였다.

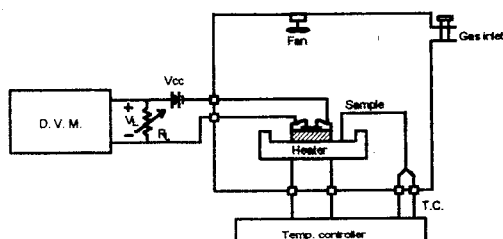


그림 3. 가스감지특성 측정 장치도

Fig. 3. Schematic diagram for the gas sensitivity test.

### III. 결과 및 고찰

그림 4는  $\text{WO}_3$ 에 각종 첨가물을 2wt.% 첨가하고 650°C에서 소결한 후막의 동작온도 300°C에서의 부탄가스에 대한 감도를 나타낸 것이다.  $\text{WO}_3$  후막에 비해  $\text{SnO}_2$ ,  $\text{ZnO}$ 를 첨가한 후막은 부탄가스에 대한 감도가 낮아졌으며 특히  $\text{MnO}_2$ 를 첨가한 후막은 10% 이하의 낮은 감도를 나타내었다.  $\text{TiO}_2$ 를 첨가한  $\text{WO}_3$ 후막은 0 ~ 20000ppm의 가스농도 전 범위에 걸쳐 감도가 증진되었음을 알 수 있다. 여기서 가스에 대한 감도는 소자의 공기중에서의 저항값에 대한 가스주입후의 저항변화를 백분율로 나타낸 것이다. 즉<sup>[19]</sup>,

$$S = \frac{(R_a - R_g)}{R_a} \times 100(\%) \quad (2)$$

이다. 여기서  $S$ 는 감도를,  $R_a$ 는 소자의 공기중에서의 저항을, 그리고  $R_g$ 는 가스주입후의 소자 저항값을 각각 나타낸다.

그림 5는  $\text{TiO}_2$ 의 첨가량에 따른  $\text{WO}_3$  후막의 부탄가스에 대한 감도를 비교한 것이다. 이때 소자의 동작온도는 300°C였고 후막의 소결온도는 650°C였다. 또한 부탄가스의 농도는 20000ppm였다.  $\text{TiO}_2$ 의 첨가량이 2wt.%일 때 가장 높은 감도를 나타냄을 알 수 있다.

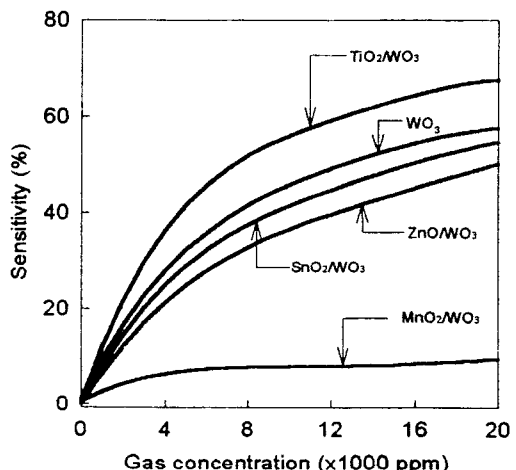


그림 4. 각종 첨가물을 2wt.% 첨가한  $\text{WO}_3$  후막의 부탄가스에 대한 감도특성.

Fig. 4. Sensitivities of  $\text{WO}_3$  thick film with various additives (2wt.%).

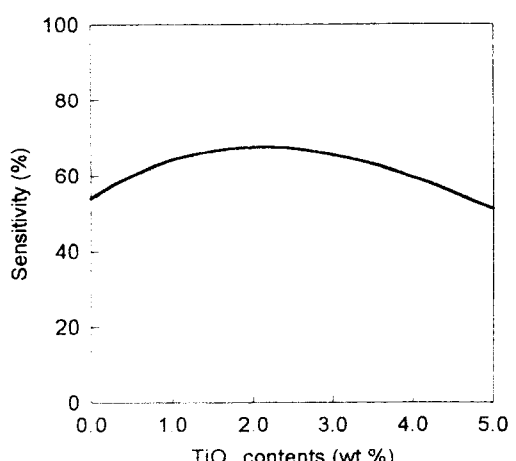


그림 5.  $\text{TiO}_2$  함량에 따른 감도

Fig. 5. Relationship between sensitivity and  $\text{TiO}_2$  contents.

그림 6은  $\text{WO}_3$ 에  $\text{TiO}_2$ 를 각각 0, 0.5, 2, 그리고 5wt.%를 첨가한 후막의 표면을 2000배 확대한 SEM 사진이다.  $\text{TiO}_2$ 를 2wt.%까지 첨가했을 때는 후막의 입자가 미세해짐을 알 수 있다. 그 결과, 후막의 비표면적이 증대됨으로써 가스에 대한 감도가 증진된 것으로 생각된다.

소자의 동작온도에서  $\text{WO}_3$  입자표면은 흡착산소로 덮여져 있으며 이러한 표면 흡착산소는  $\text{WO}_3$  후막내의 전자를 포획하므로 후막의 전기전도도를 낮추어 준다. 이 상태에서 환원성가스인 부탄가스가 주입되면 표면의 흡착산소와 피검가스 사이에 흡착반응이 일어나게 되고 그 결과 후막의 표면흡착 산소량이 줄어든다. 이 때 흡착산소에 의해 억셉트 되어 있던 전자는  $\text{WO}_3$  후막내로 재공여 된다. 그 결과 후막의 전기전도도는 커지게 된다.  $\text{TiO}_2$ 를 5wt.% 첨가한 후막은  $\text{TiO}_2$ 를 2wt.% 첨가한  $\text{WO}_3$  후막에 비해 입자의 크기가 커졌음을 알 수 있다.

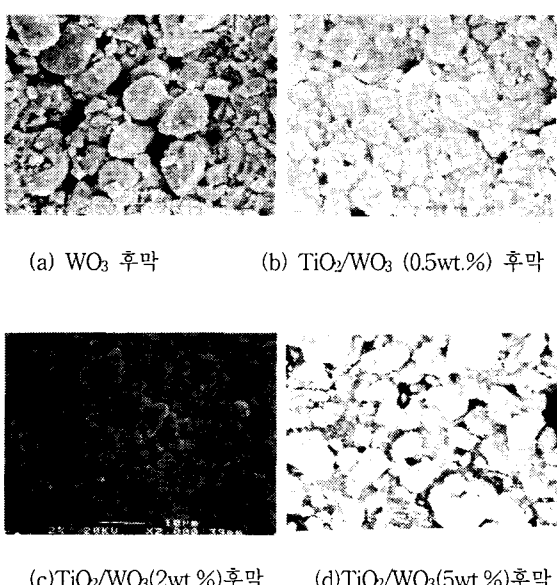


그림 6.  $\text{TiO}_2$ 의 첨가량에 따른  $\text{WO}_3$  후막의 표면 SEM 사진 (배율 : 2000)

Fig. 6. SEM photographs of  $\text{WO}_3$  thick films (Mag. : 2000).

그림 7은  $\text{TiO}_2$ 를 2wt.% 첨가한  $\text{WO}_3$  후막의 소결온도에 따른 감도변화를 나타낸 것이다. 이때 소자의

동작온도는 300°C였으며 부탄가스의 농도는 20000ppm 이었다. 650°C에서 소결된 후막이 가장 좋은 감도를 나타냄을 알 수 있다.

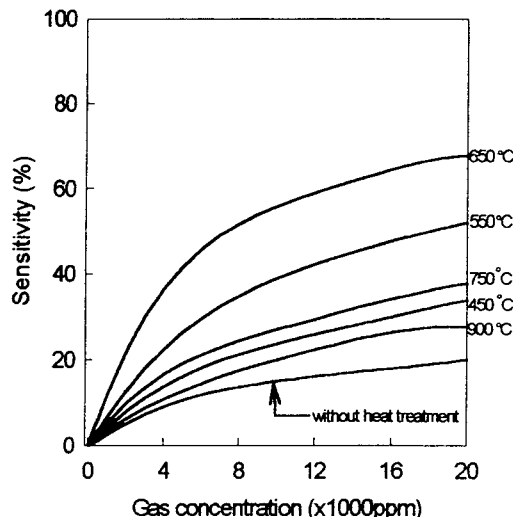


그림 7. 열처리 온도에 따른  $\text{TiO}_2/\text{WO}_3$  후막소자의 감도

Fig. 7. Sensitivities of  $\text{TiO}_2/\text{WO}_3$  thick films with various heat treatment temperature.

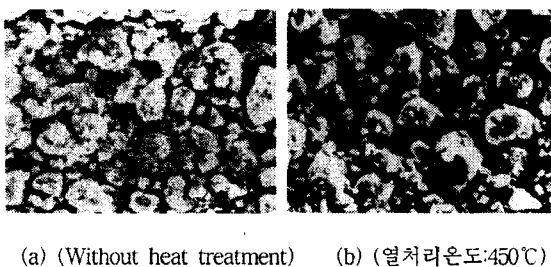
그림 8은  $\text{TiO}_2$ 를 2wt.% 첨가한  $\text{WO}_3$  후막의 표면을 소결온도에 따라 나타낸 것이다. 650°C 이하의 소결온도에서는 열처리 온도가 높을수록 입계(grain boundary)가 커짐을 볼 수 있다. 900°C 열처리 온도에서는 감도가 저하되었는데 이는 900°C의 소결온도에서는  $\text{WO}_3$  입자가 다결정으로 성장하고 그 결과  $\text{WO}_3$  후막내의 결정결합이나 기공이 감소함으로 가스에 대한 감도가 낮아지는 것으로 생각된다.

표 1은 본 연구에서 제조한 각종 후막의 공기중 20000ppm 부탄가스에 대한 감도를 나타낸 것이다. 이 때 소자의 동작온도는 300°C였다. 650°C 이하의 온도에서 소결한 후막은 부탄가스에 대한 감도가 떨어졌으며 650°C 이상의 온도에서는 소결온도가 높을수록 감도가 낮아져 650°C의 소결온도가 최적임을 알 수 있었다. 표에서 알수 있듯이  $\text{TiO}_2$ 를 첨가한  $\text{WO}_3$  후막의 부탄가스에 대한 감도가 다른 첨가물을 적용한 후막의 감도 보다 상대적으로 높음을 알 수 있고  $\text{TiO}_2$ 의 첨가량이 2wt.%일 때 가장 높은 감도를 나타냄을 알 수 있다.

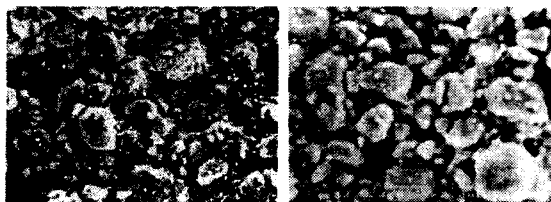
그림 9는 소자의 동작온도에 따른 감도변화를 조사하

기 위해,  $TiO_2$ 를 2wt.% 첨가하고 650°C에서 열처리한  $WO_3$  후막의, 동작온도에 따른 공기중 20000ppm의 부탄가스에 대한 감도를 나타낸 것이다. 소자의 동작온도는 300~400°C가 적당하며 350°C의 동작온도에서 최대 감도를 가짐을 알 수 있다. 250°C 이하의 동작온도에서는 거의 감도를 나타내지 않았다. 향후 동작온도를 낮추기 위한 연구가 요망된다.

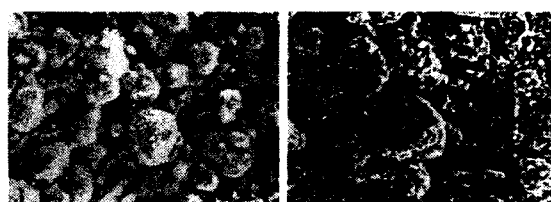
이상의 측정결과를 종합하면, 부탄가스에 대해 최대 감도를 나타내는 소자는  $TiO_2$ 를 2wt.% 첨가하고, 650°C에서 소결한 것이었으며, 350°C의 동작온도에서 가장 높은 감도를 나타냄을 알 수 있다.



(a) (Without heat treatment) (b) (열처리온도: 450°C)



(c) (열처리온도 : 550°C) (d) (열처리온도 : 650°C)



(e) (열처리온도 : 750°C) (f) (열처리온도 : 900°C)

그림 8.  $TiO_2$ 를 2wt.% 첨가한  $WO_3$  후막의 열처리 온도에 따른 표면 SEM 사진(배율 : 2000)

Fig. 8. SEM photographs of  $TiO_2/WO_3$  (2wt.%) thick films with various heat treatment (Mag. : 2000)

표 1.  $WO_3$  후막의 조성과 열처리 온도에 따른 감도변화.

Table. 1. Sensitivities of  $WO_3$  thick films under the various conditions.

(표 안의 수치는 감도 [%]를 나타냄)

조 성	첨가량 (wt%)	소 결 온 도			
		550°C	650°C	750°C	900°C
$WO_3$		43.0	54.3	35.7	15.8
$WO_3 +$ $TiO_2$	0.5	32.0	60.0	44.5	6.5
	2	51.3	67.5	36.4	28.0
	5	23.0	51.0	34.3	5.5
	0.5	25.0	26.0	9.2	3.6
$WO_3 +$ $ZnO$	2	39.6	49.9	14.4	9.1
	5	14.0	18.7	11.6	6.8
	0.5	35.9	23.9	6.7	10.2
$WO_3 +$ $SnO_2$	2	45.3	54.5	30	10.1
	5	31.2	39.1	15.0	9.8
	0.5	21.0	16.4	9.4	1.7
$WO_3 +$ $MnO_2$	2	17.2	10.0	7.6	4.9
	5	19.9	15.4	4.6	8.0

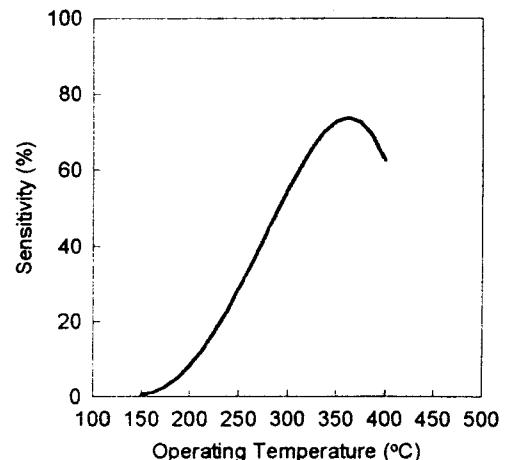


그림 9. 동작온도에 따른  $TiO_2/WO_3$  후막소자의 감도

Fig. 9. Sensitivities of  $TiO_2/WO_3$  thick film with various operating temperatures.

그림 10은 이 소자의 부탄과 LPG에 대한 감도특성을 나타낸 것이다. 20000ppm의 가스농도일 때 LPG에 대해 75%, 부탄에 대해서는 80%의 감도를 나타내어 이들 가스에 대해 매우 우수한 감도를 나타냄을 알 수

있다.

그림 11은  $TiO_2/WO_3$  소자의 공기중 2000ppm 부탄 가스에 대한 응답특성을 조사한 것이다. 열처리온도는 650°C였고 첨가물을 2wt.% 첨가한 소자이다. 이때 동작온도는 350°C 였다. 가스를 주입한 후 즉시 반응하였고 상승시간은 약 10초 정도였으며, 가스배기후 처음의 저항값으로 돌아오는데는 약 90초 가량 소요되었다.

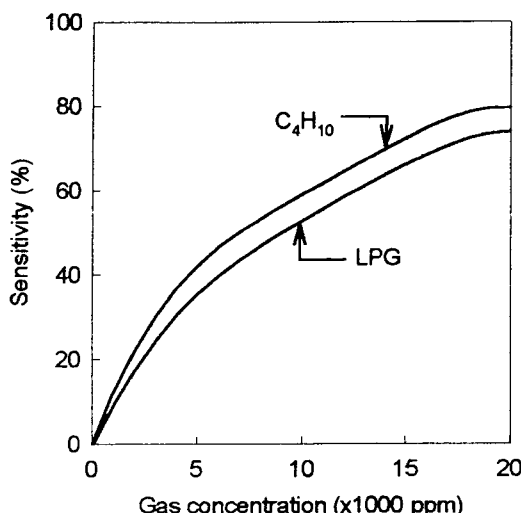


그림 10. 부탄, LPG에 대한  $TiO_2/WO_3$  후막소자의 감도

Fig 10. Sensitivities of  $TiO_2/WO_3$  thick films to  $C_4H_{10}$ , LPG.

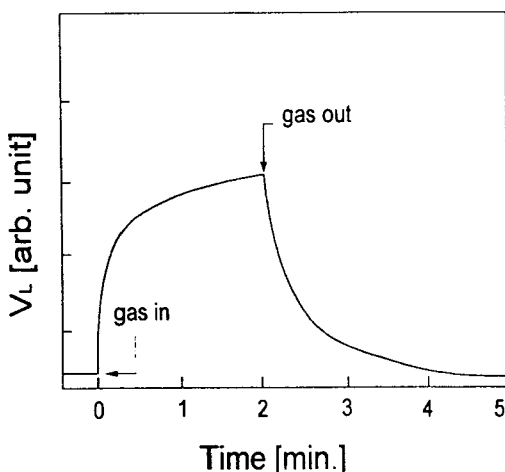


그림 11. 부탄가스에 대한 시간 응답특성

Fig. 11. Time response characteristics to butane gas.

#### IV. 결론

$WO_3$ 를 기본물질로 하고 산화물을 첨가제로 한 후막형 가스감지 소자를 제조하였다. 첨가된 산화물의 종류와 첨가량에 따른 부탄가스에 대한 감도변화, 열처리온도에 따른 감도변화, 동작온도에 따른 감도변화 및 다른 가스에 대한 감도특성 등을 조사하였다. 첨가 산화물중  $TiO_2$ 를 첨가한  $WO_3$  후막의 부탄가스에 대한 감도가 다른 첨가물을 적용한 후막의 감도보다 상대적으로 높음을 알 수 있었고,  $TiO_2$ 의 첨가량이 2wt.%일 때 가장 높은 감도를 나타낸다. 열처리온도를 900°C까지 변화시켜 보았는데 650°C 일 때 가장 좋은 감도를 나타냈으며, 동작온도를 400°C까지 변화시켰을 때는 350°C에서 가장 좋은 감도를 가짐을 알 수 있었다.  $WO_3$ 에  $TiO_2$ 를 2wt.% 첨가하고, 650°C에서 열처리한 후막의 동작온도 350°C에서 공기중 20000ppm의 부탄가스에 대해 80%의 감도를 나타내었고 2000ppm 부탄가스에 대해 상승시간이 약 10초 정도였으며 회복시간은 약 90초 정도 소요되었다.

#### 참 고 문 헌

- [1] T. Seiyama, A. Kata, K. Fukuiishi and M. Nagatini, "A new detector for gaseous components using semiconductive thin films", Anal. Chem. 34, pp. 1502 - 1504, 1962.
- [2] N. Taguchi, Jap. Patent pp. 45 - 382, 1962.
- [3] 정완영, 박정은, 강봉희, 이덕동, "탄화수소계 가스 센서를 위한  $SnO_2-TiO_2$ 계 후막의 제조", 요업학회지, 28(9), pp. 721 - 730, 1991.
- [4] M. Levy, J. Fouletier and M. Kleitz, J. Physique Coll. C6-41 pp. 335, 1980.
- [5] A. N. Willis and M. Silarajs, US Patent Specification 4197089, 1980.
- [6] H. Voigt, US Patent Specification 4581204, 1986.
- [7] Nakatani, et al. : "Some electrical properties of  $\gamma-Fe_2O_3$  ceramics", Jpn. J. Appl. Phys. 22:233, 1983.
- [8] N. Yamazoe, Y. Kurokawa and T. Seiyama, "Effects of additives on semiconductor gas sensors", Sensors and Actuators 4, pp. 283 - 289, 1983.

- [9] H. Pint, L. Treitinger and L. Vite, "Preparation of fast detecting SnO<sub>2</sub> gas sensors", J. J. Appl. Phys., 19, pp. 513 - 517, 1980.
- [10] R. Lalaze and C. Pijolat, "A new approach to selective detection of gas by a SnO<sub>2</sub> solid-state sensor", Sensors and Actuators 5, pp. 55 - 63, 1984.
- [11] H. Windischmann and P. Mark, "A model for the operation of a thin-film SnO<sub>x</sub> conductance-modulation carbon monoxide sensor", J. Electrochem. Soc., Solid-State Science and Technology, 126, pp. 627 - 633, 1979.
- [12] 유석기, LPG 및 도시가스 실무핸드북, 구민사, pp. 91-142, 1984.
- [13] P. Shaver, Appl. Phys. Lett. 11, 255 (1967).
- [14] J. R. Macintyre and W. C. Neppel, NASA Tech. Brief 71-10209 (1971).
- [15] S. Deb, Philos. Mag. 27, 801 (1973).
- [16] Z. Xu, J. F. Veteline, R. Lec and D. C. Parker, J. Vac. Sci. Tech. A8, 3634 (1990).
- [17] 최동한, "WO<sub>3</sub> 가스센서", 산업과학 연구지, 청주 대, Vol. 11, (1993).
- [18] 조성욱, "WO<sub>3</sub>/Pt thick film gas sensor", 경북대 공학석사 학위논문, (1994).
- [19] Duk-Dong Lee and Wan-Young Chung, "Gas-sensing characteristics of SnO<sub>2-x</sub> thin film added Pt fabricated by the dipping method," Sensors and Actuators, 20, pp. 301-305, 1989.

---

著 者 紹 介

---



장동혁 (張東赫)

1971년생. 1994년 청주대학교 반도체공학과 졸업 (공학사). 1996년 청주대학교 전자공학과 석사과정 졸업 (공학석사). 주관심분야 : 반도체 센서.



최동한 (崔東漢)

1960년생. 1982년 경북대학교 전자공학과 졸업(공학사). 1984년 경북대학교 대학원 전자공학과 졸업 (공학석사). 1988년 경북대학교 대학원 전자공학과 졸업(공학박사). 1988년 ~ 현재 청주대학교 반도체공학과 부교수. 주관심분야 : 가스센서, 반도체 재료 및 소자, 집적회로 공정기술.